НЕКОТОРЫЕ ЗАКОНОМЕРНОСТИ РАДИКАЛЬНОЙ ПОЛИМЕРИЗАЦИИ ДИМЕТИЛАМИНОЭТИЛМЕТАКРИЛАТА В ПРОТОНОАКЦЕПТОРНЫХ РАСТВОРИТЕЛЯХ И ИХ СМЕСЯХ С ВОДОЙ

Р. В. ЕГОЯН, В. В. ГРИГОРЯН и Н. М. БЕЙЛЕРЯН

Ереванский государственный университет Поступило 8 X 1980

Исследована кинетика радикальной полимеризации диметиламиноэтилметакрилата в диоксане и тетрагидрофуране и их смесях с водой в гомогсиных и микфогетерогенных условиях. В водно-органических смесях наблюдалось увеличение как скорости полимеризации, так и молекулярных масс полимера. На основе определения элементарных констант скоростей роста и обрыва цепей, а также энергии активации и энтропийных параметров полимеризации, указанные эффекты объясиены компактизацией макрорадикальных клубков раступих цепей и затруднением их обрыва в присутствии воды, а также диссоциацией реагирующих частиц, дополнительно усиливающей наблюдвемые эффекты.

Рис. 4, табл. 2, библ. ссылок 2.

Ранее [1, 2] изучалось действие воды на радикальную полимеризацию диметиламиноэтилметакрилата (ДМАЭМ) в метанольных и ацетоновых растворах. Было установлено, что присутствие воды в этих системах приводит к увеличению как скорости полимеризации, так и молекулярной массы полученного полимера.

В дальнейшей работе исследования проводились в диоксане и ТГФ, при инициировании процесса динитрилом азоизомасляной мислоты (ДАК).

Из рис. 1 видно, что при одинаковой концентрации ДМАЭМ скорость полимеризации мономера как в диоксане, так и в ТГФ увеличивается при замене части растворителя на воду и при увеличении концентрации последней. При этом симбатно наблюдаемому эффекту увеличивается также характеристическая вязкость (п) полученного полимера, что на примере системы диоксан-вода иллюстрируется на том же рисунке. Интересно отметить также, что при изучении скорости полимеризации в диоксане и его смесях с водой в последнем случае была обнаружена заметная термическая полимеризация при 50° в отсутствие инициатора (рис. 2). Выяснилось, что независимо от присутствия воды во всех системах как в диоксане, так и в ТГФ порядки скорости полимеризации по инициатору и мономеру составляют соответственно 0,5 и 1,5. Методом ингибирования были определены константы скоростей инициирования. Полученные данные, а также энергии активации $E_{
m sop}$ и предэкопоненциальные множители $A_{\rm np}$ для полимеризации в диоксаие, ТГФ и их смесях с водой, вычисленные из зависимости $\mathbb{I}g\ W_{\text{пол}} =$ = f(1/T) (рис. 3), приведены в табл. 1. В качестве ингибитора применялся стабильный радикал 2,2,6,6-тетраметиллиперидин-1-оксил.

Для выяснения влияния воды на полимеризацию ДМАЭМ на уровне элементарных актов процесса методом вращающегося сектора

была изучена нестационарная кинетика фотополимеризации ДМАЭМ в диоксане и его смесях с водой (табл. 2).

Для количественного изучения молекулярных параметров поли-ДМАЭМ в диоксане и его смеси с водой методом светорассеяния измерялись средневесовые молекулярные массы \overline{M}_w и были рассчитаны среднеквадратичные расстояния между концами цепей $(\overline{h}^2)^{l_a}$ для двух вышеуказанных образцов поли-ДМАЭМ. Для полимера, полученного в диоксане, $\overline{M}_w = 8,2 \cdot 10^5$ и $(\overline{h}^2)^{l_a} = 1250$ Å. а в смеси диоксан + вода $\overline{M}_w = 20 \cdot 10^5$ и $(\overline{h}^2)^{l_a} = 1900$ Å.

Исходя из полиэлектролитного характера поли-ДМАЭМ было изучено также гидродинамическое поведение полимера в диоксановых и

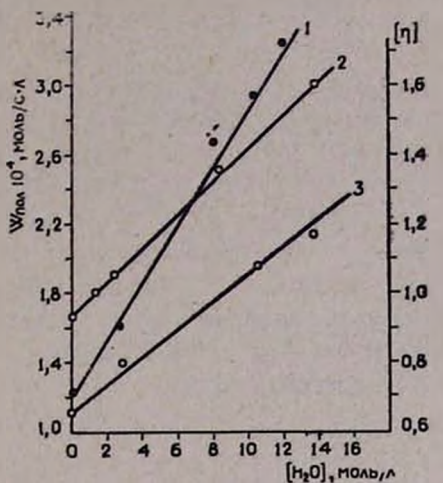


Рис. 1. Зависимость скорости полимеризации ДМАЭМ от концентрации воды в: 1 — диоксане, 2 — ТГФ при 50° и 3 — характеристической вязкости поли-ДМАЭМ от концентрации воды в риоксане при 20° . [ДМАЭМ] = 4,55, [ДАК] = $1,5 \cdot 10^{-2}$ моль/л.

водно-диоксановых растворах при 20, 40 и 50° в виде зависимости $\eta_{y_a}/C = f(C)$ (рис. 4) для выяснения конформационного состояния растущих мажрорадикалов в условиях реакции. При этом ожидались ти-

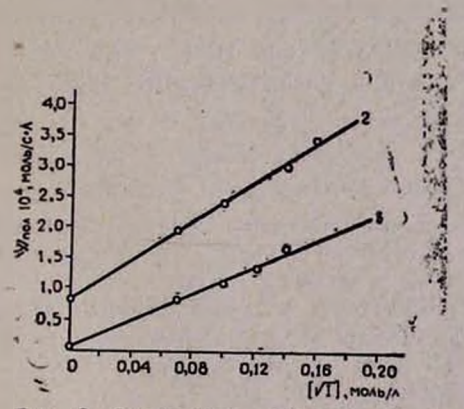


Рис. 2. Зависимость скорости полимеризации от кория квадратного концентрации ДАК в диоксане (1) и смеси диоксан + вода (2): [ДМАЭМ] = 4,55 моль/л, 50°.

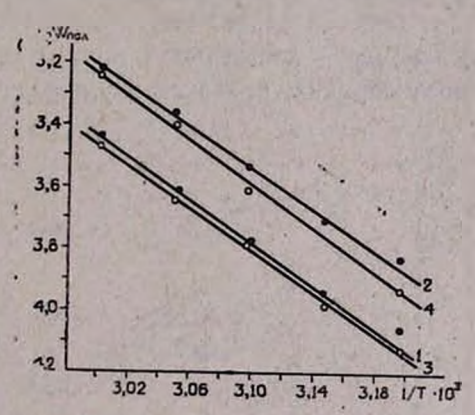


Рис. 3. Зависимость логарифма скорости полимеризации от обратной величины температуры при [ДМАЭМ] = $4.55 \, \text{моль/л}$, [ДАК] = $1.5 \cdot 10^{-2} \,$ в диоксане — 1. ТГФ—2, диоксан + вода — 3, ТГФ + вода — 4.

пичные для полиэлектролитов эффекты увеличения вязкости при внесении воды в растворитель с низкой диэлектрической проницаемостью (для диожсана s=2,2, $t=25^\circ$) и уменьшения вязкости при увеличении температуры (выше 55° водно-диожсановый раствор поли-ДМАЭМ при $[H_2O]=12$ моль/л становится гетерогенным).

Таблица I Кинетические и аррениусовские параметры радикальной полимеризации ДМАЭМ в диоксане, ТГФ и их смесях с водой: [ДМАЭМ]=4,55, [H₂O]=11,92, [ЛАК1=1.5·10⁻² молыл

Среда	10°- W _{нн} , моль/л-с		$10^4 \cdot k_{s\phi\phi}$, c/A -MOA6	$k_{\rm p}/k_{\rm U}^{1/s}$	Е _{вфф} ч кДж/моль	10-5 · A _{np} , A/c · MOAL
Диоксан	4,6	3,066	1,119	0,079	60.6+0,7	5,95
Диоксан + вода	4,8	3,20	2,735	0,137	62,7+0,5	19,7
ТГФ	15	10,0	1,37	0,043	69,0+0,5	140
ТГФ + вода	15	10,0	2,525	0,065	69,0+1	342

Таблица 2
Кинетические параметры и константы скоростей элементарных актов фотополимеризации ДМАЭМ в диоксане и водно-диоксановой смеси при [ДМАЭМ]=4.55, [H₂O]=12 моль/л при 40°

Среда	T _{CT} ;	$k_{\rm p}/k_0^{i/s^{\Phi}}$	$10^4 \cdot k_{\rm p}/k_{\rm e}$	k _p	10 ⁻⁶ - k ₀
Дноксан	0,16	0,0768	0,21	280,85	13,3
Диоксан + вода	0,77	0,139	1,11	174,0	1,568

* Отношение $k_{\rm p}/k_0^{1/2}$ при 40° получено пересчетом его значений при 50°, с использованием данных табл. 1.

Действительно, ощутимые полиэлектролитные эффекты набухания макрощеней достипаются лишь при концентрациях воды вышеуказанцого порядка, а вязкость уменьшается при увеличении температуры.

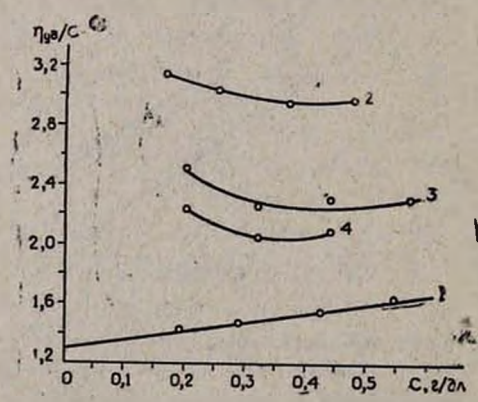


Рис. 4. Зависимость приведенной вязкости поли-ДМАЭМ от концентрации: 1-B дноксане, 2-B смеси диоксан-вода (1:2,3 по объему), $t=20^\circ$; 3-B смеси диоксан-вода (1:2,3 по объему), $t=40^\circ$; 4-B смеси дноксан-вода (1:2,3 по объему), $t=50^\circ$.

Из совожупности приведенных данных видно, что как в случае диоксана, так и ТГФ замена части растворителя на воду при равных остальных параметрах полимеризационной системы приводит к увеличению скорости полимеризации ДМАЭМ и молекулярной массы полученного полимера. Скорость иницинрования полимеризации в ТГФ почти втрое

больше, чем в диоксане. Это, по-видимому, связано с эффектом клетки и низкой эффективностью инициирования в более вязком растворителе —диоксане ($\eta = 0,928$ спз) по сравнению с ТГФ ($\eta = 0,483$ спз) при 40° .

В ТГФ, как и в диоксане, внесение воды при почти одинаковой величине энергии активации приводит к увеличению предэкспоненциального множителя, что указывает на энтропийную природу увеличения скорости полимеризации. Это заключение согласуется с фактом уменьшения константы скорости роста цепи всего в 2 раза, а скорости обрыва—на порядок при добавлении воды, т. е. с небольшим уменьшением реакционноспособности растущего конца макрорадикала при значительном уменьшении вероятности квадратичного обрыва цепей (энтропийный фактор). По-видимому, уменьшение константы скорости обрыва цепи связано с компактизацией макрорадикалов под действием воды, а также с большим влиянием нонизации на окорость обрыва цепей по сравнению с влиянием на скорость роста цепей.

ԴԻՄԵԹԻԼԱՄԻՆՈԷԹԻԼՄԵՏԱԿՐԻԼԱՏԻ ՊՈԼԻՄԵՐՄԱՆ ՄԻ ՔԱՆԻ ՕՐԻՆԱՉԱՓՈՒԹՅՈՒՆՆԵՐԸ ՊՐՈՏՈՆԱԿՑԵՊՏՈՐԱՅԻՆ ԼՈՒԾԻՉՆԵՐՈՒՄ ԵՎ ՆՐԱՆՑ ԽԱՌՆՈՒՐԴՆԵՐՈՒՄ ՋՐԻ ՀԵՏ

P. 4. BUNBUD, 4. 4. APPANPBUD & D. V. POBLOPBUD

Ուսումնասիրված է դիմենիլամինոէնիլմետակրիլատի ռադիկալային պոլիմերման կինետիկան դիօքսանում, տետրահիդրոֆուրանում և ջրի հետ
նրանց խառնուրդներում հոմոգեն ու միկրոհետերոգեն պայմաններում։ Ջուրօրգանական խառնուրդներում նկատվել է պոլիմերման արագունյան և պոլիմերի մոլեկուլյար ղանգվածների մեծացում։ Ուսումնասիրվել է նաև պոլիմերի մոլեկուլյար պարամետրերը և հիդրոդինամիկական վարքը վերոհիշյալ
միջավայրերում տարբեր ջերմաստիճաններում։

Հար լացման և հատման տարրական հաստատուների, ինչպես նաև պոլիմերման ակտիվացման էներգիայի և էնտրոպիական պարամետրերի հիման վրա նկատված էֆեկտները բացատրվել են աճող շղթաների, մակրոռադիկալների կծիկների կոմպակտացմամբ և ջրի առկայությամբ նրանց խզման հավանականության փոքրացմամբ։ Միաժամանակ ռեակցվող մասնիկների դիսոցումը իր հերթին, ուժեղացնում է նկատված էֆեկտները։

SOME ASPECTS OF DIMETHYLAMINOETHYLMETHACRYLATE RADICAL POLYMERIZATION IN PROTONOACCEPTOR SOLVENTS AND THEIR AQUEOUS MIXTURES

R. V. EGOYAN, V. V. GRIGORIAN and N. M. BEYLERIAN

The kinetics of DMAMA radical polymerization in dioxane and tetrahydropuran and their aqueous homogeneous and microheterogeneous mixtures has been studied. An increase has been established in the overall polymerisation rate and the mean molecular mass of the polymers thus obtained in the presence of water.

Experimental data confirm the assumption that a compactness of macroradicals and macromolecules, as well as a decrease in the bimolecular termination rate and dissociation of the reagent occur in the presence of water.

ЛИТЕРАТУРА

1. Р. В. Егоян, В. В. Григорян, Н. М. Бейлерян, Арм. хим. ж., 32, 93 (1979). 2. Р. В. Егоян, Л. М. Галстян, Н. М. Бейлерян, Арм. хим. ж., 32, 520 (1979).

Армянский химический журнал, т. 35, № 9, стр. 574—579 (1982 г.)

НЕОРГАНИЧЕСКАЯ И АНАЛИТИЧЕСКАЯ ХИМИЯ

УДК 541.182.6:666.96

СВЯЗКИ НА ОСНОВЕ ЗОЛЕЙ ДВУОКИСИ ОЛОВА И ГИДРООКИСИ СВИНЦА (II)

С. Р. ҚАСАБЯН, Г. М. БАРВИНОК и М. М. СЫЧЕВ Ленинградский технологический институт им. Ленсовета Поступило 26 V 1982

Получены золи двуокиси олова и гидроокиси свинца (II) и определены их вяжущие свойства с рядом отвердителей-наполнителей. Наибольшую прочность камия до 43 МПа обнаруживают образцы системы MgO—золь двуокиси олова.

Методами физико-химического анализа (рентгеноструктурного, термографического и мессбауэровской спектроскопии) исследованы золи SnO₂ и композиции на их основе. Предложена модель твердеющей системы.

Табл. 3, библ. ссылою 4.

Работа поовящена получению и исследованию новых связующих на основе растворов неорганических полимеров. В связи с широким распространением золей в технике, учитывая, что нужные результаты часто достигаются именно при коллоидной степени диспертирования, представляло интерес выявить действие коллоидно-химических факторов на формирование свойств композиций активный наполнитель—эоль. Задачей настоящей работы явилось приготовление устойчивых эолей двуокиси олова и гидроокиси свинца (II) и выясненение возможности их использования в цементных композициях в качестве жидкости затворения. Использование золей гидроокисей вместо щелочных станнатов или плюмбитов дало бы возможность при синтезе материалов избавиться от отрицательных свойств, которые вносит с собой щелочной металл, например, повысить температуру использования материала, увеличить адгезию и т. д.

Золи двуокиси олова получали пептизацией гидрогелей с-оловянных кислот наиболее простым методом, позволяющим (принимая во внимание сильное пептизирующее действие калиевой щелочи) получать достаточно чистые, устойчивые золи. с-Оловянные кислоты приготавливали опособом, предложенным Даром и Вараданамом [1]. 15 мл безводного хлорного олова растворяли в 100 мл воды. К полученному рас-